

Prevalencia de los patrones tomográficos pulmonares encontrados en pacientes con neumonía por COVID-19

ANEXOS: FIGURAS Y TABLAS

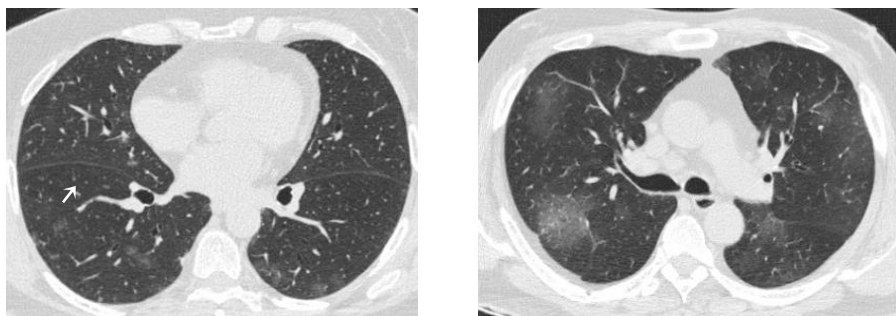


Figura No. 1: (A) Tomografía computarizada de tórax de un paciente de 77 años con COVID-19 en fase inicial de la enfermedad con nódulos GGO. Se observa opacidades nodulares en vidrio deslustrado. (B) masculino 65 años intermedia severidad moderada de neumonía por COVID 19, patrón GGO (vidrio deslustrado).

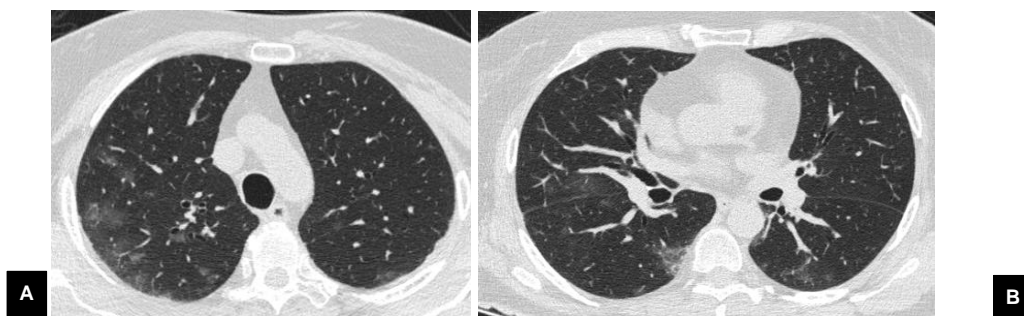


Figura No. 2: (A) Tomografía computarizada de tórax en ventana pulmonar de un paciente de 54 años con COVID-19 en la fase inicial de la enfermedad con patrón en vidrio esmerilado subpleural en cuña. (B) Se observa patrón en vidrio esmerilado subpleural en cuña con cambios condensativos fase intermedia.

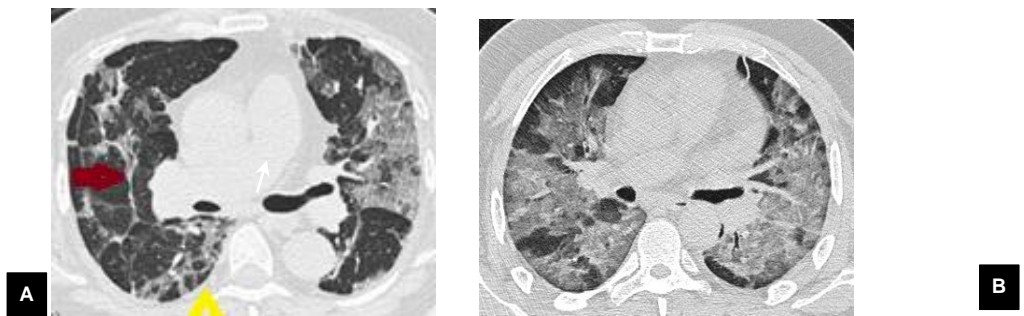


Figura No. 3: (A) Tomografía computarizada de tórax en ventana pulmonar: masculino de 75 años con COVID-19 en la fase tardía de la enfermedad donde se visualiza signo del puente cabeza de flecha amarilla- bandas atelectasicas, flecha roja. Se observa patrón en empedrado (flecha) (B) Paciente de 56 años en fase intermedia de neumonía por COVID-19, con patrón empedrado, severidad severa.

Tabla 1
Datos demográficos

Grupos Etarios	Edad 27-40		Edad 41-60		Edad 61-80		Edad 81-98		Total	
	F	%	F	%	F	%	F	%	F	%
Masculino	16	5	77	24.2	93	29.2	11	3.5	197	62
Femenino	11	3.5	32	10.1	64	20.1	14	4.4	121	38
Total	27	8.5	109	34.3	157	49.4	25	7.9	318	100

Fuente: Registros de la investigación

Tabla 2
Comorbilidades de base

Género	Masculino		Femenino		Total	
	F	%	F	%	F	%
Patología						
Diabetes mellitus	50	16	33	10	83	26
Hipertensión Arterial	76	24	50	16	126	40
Cáncer	6	2	0	0	6	2
Inmunosupresión	8	3	4	1	12	4
Enfermedad cardiovascular	7	2	4	1	11	3
Obesidad	6	2	2	1	8	3
Enfermedad pulmonar obstructiva	4	1	0	0	4	1
Hepatopatía	3	1	6	2	9	3
Enfermedad reumática	1	0.3	1	0.3	2	1
Enfermedad renal crónica	9	3	5	2	14	4
Enfermedad renal crónica terminal	2	1	3	1	3	1
Trasplante	4	1	1	0.3	5	2
Hipotiroidismo	7	2	6	2	13	4
Sin comorbilidades	79	25	50	16	129	41

Fuente: Registro de la investigación

Tabla 3
Distribución del patrón en vidrio esmerilado

PATRÓN	Total, de pacientes	
	N	%
Patrón en vidrio esmerilado en nódulos GGO	32	11%
Patrón en vidrio esmerilado distribución peri hilar asociado a patrón condensativo	67	23%
Patrón en vidrio esmerilado subpleural en cuña asociado a áreas de condensación	187	65%

Fuente: Registros de la investigación

Tabla 4

Letalidad

Patrón	Letalidad		
	F	A%	B
Patrón en vidrio esmerilado	111	39	81%
Patrón de condensación	15	83	10.9%
Patrón en empedrado	10	100	7.2%
Patrón destructivo	1	100	0.72%
Sin datos de lesión activa	0	0	0%
TOTAL	137	43.1	100%

Fuente: Registro de la investigación

A: Corresponde al porcentaje de mortalidad según infectados por patrón

B: Porcentaje de mortalidad según la totalidad de muertos 137

Tabla 5

Mortalidad según edad

Edad	No sobrevivientes		Sobrevivientes	
	F	%	F	%
Edad 27-40	3	0.9	24	7.5
Edad 41-60	27	8.5	82	25.8
Edad 61-80	89	28	68	21.4
Edad 81-98	18	5.7	7	2.2
TOTAL	137	43.1	181	56.8

Fuente: Registro de la investigación